

## 高一地理试卷

2022.1

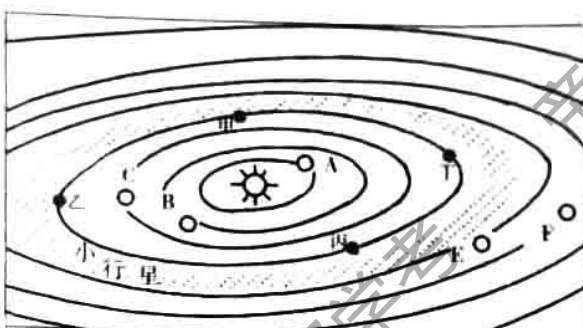
(考试时间 90 分钟 满分 100 分)

## 第一部分 选择题(共 60 分)

本部分共 30 小题,每小题 2 分,共 60 分,在每小题的四个选项中,选出最符合题目要求的一项。

2020 年人类向火星连续发射了包括我国天问一号在内的三颗探测器。2021 年 10 月 16 日左右,由于火、地、日的相对位置和太阳干扰,三颗探测器皆与地球通信中断。2021 年 7 月美国首次公布了利用地震波探测的火星内部结构图。据此完成 1、2 题。

1. 造成此次通信中断的原因是火星相对太阳、地球处于图 1 中的



图中字母代表行星,甲、乙、丙、丁代表火星与日、地的位置关系

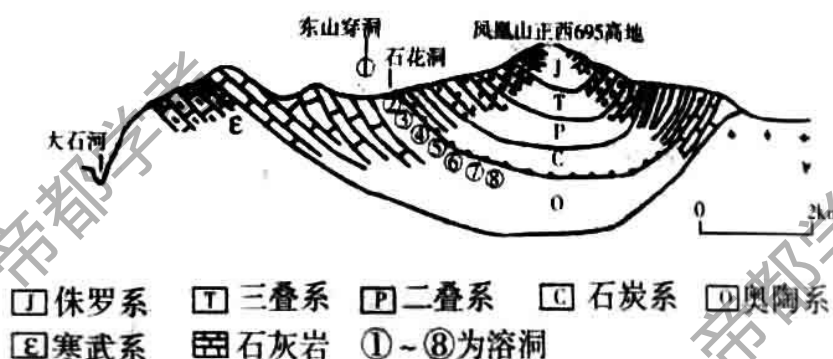
图 1

- A. 甲位置      B. 乙位置      C. 丙位置      D. 丁位置

2. 研究人员根据地震波初步发现火星内部也分三层,主要依据

- A. 地震波在不同介质中传播速度相同    B. 地震波反映出的火星内部不连续面  
C. 火星上地震波的横波速度快于纵波    D. 地震波在火星内部造成的烈度不同

图 2 为北京石花洞系洞层与地层图,图 3、图 4 为某同学拍摄的洞内“石花”景观和石花洞景区附近村落早期的采煤外输凹槽。据此完成 3~5 题。



北京石花洞系洞层与地层

图 2



图 3



图 4

3. 图2中石花洞

- A. 出现在古生代的地层
- B. 各洞层在同一时期形成
- C. 形成于5.41亿年之前
- D. 内部有峰丛、孤峰地貌

4. 图3中的石花

- A. 多出现于花岗岩为主的地层
- B. 属喀斯特地貌
- C. 反映气温变化大的溶洞环境
- D. 生长速度较快

5. 石花洞景区附近煤层最可能出现的地层及当时的环境特点是

- A. 奥陶纪或石炭纪地层 大气以二氧化碳为主
- B. 奥陶纪或寒武纪地层 两栖和爬行动物兴盛
- C. 二叠纪或三叠纪地层 蕨类或裸子植物繁盛
- D. 石炭纪或二叠纪地层 全球多次出现冷暖交替

2021年12月9日，神舟十三号航天员在距离地球约400公里的中国空间站进行了太空授课。图5为大气垂直分层示意图，图6为“天宫课堂”乒乓球失去浮力而停留在水中的演示。据此完成6、7题。

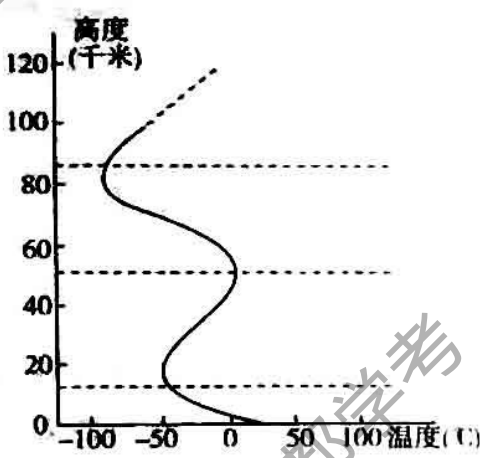


图5



图6

6. 中国空间站

- A. 外部气温在-50℃至0℃之间
- B. 白天可看到蔚蓝的天空
- C. 外部大气密度小，接近真空
- D. 位于适合巡航的平流层

7. 乒乓球在水中失去浮力反映了中国空间站

- A. 绕地运动速度快
- B. 内部水密度变小
- C. 受电离作用较强
- D. 处于微重力环境

2022年北京冬奥会延庆赛区位于小海陀山区域，海拔最高点2198米。图7为小海坨山2017年1月15日、16日不同时段气温垂直变化图（注意不同时段横坐标数值分别从下部或上部来读取），图8为这两日该地附近的卫星云图，图中黑三角为小海坨山主峰，方框为观测区域。据此完成8、9题。

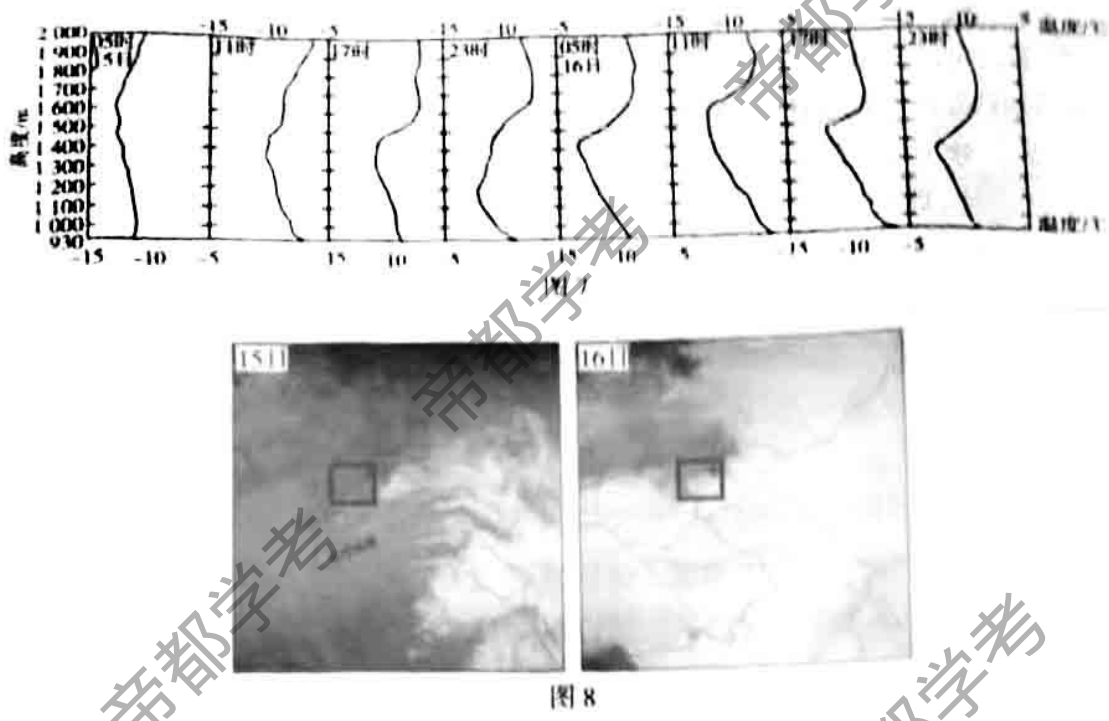


图 8

8. 图 7 中

- A. 15 日 5 时 ~ 11 时, 气温随高度增加而降低
  - B. 16 日比 15 日, 5 时 ~ 11 时气温的垂直变化较大
  - C. 15 日 23 时至次日 5 时 1200 米的气温最高
  - D. 15 日 23 时至次日 5 时, 山麓与 2000 米处温差大
9. 16 日 23 时 ~ 次日 5 时比 15 日同时段 2000 米地带气温低的原因是 16 日比 15 日
- A. 夜间大气逆辐射作用增强
  - B. 大气的湿度降低
  - C. 白天大气对太阳辐射削弱作用增强
  - D. 冰雪反射率增加

城市热岛效应强度是城市与郊区的气温差。图 9 为北京市城市热岛效应强度的季节和日变化示意图, 图 10 为 2004 年北京市热岛效应强度空间分布图(灰度越高, 热岛效应强度越高)。据此完成 10、11 题。

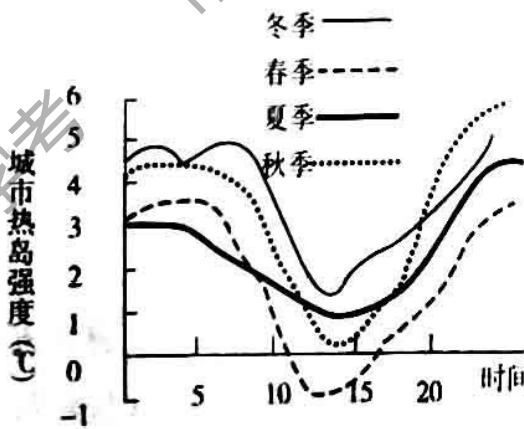


图 9



图 10

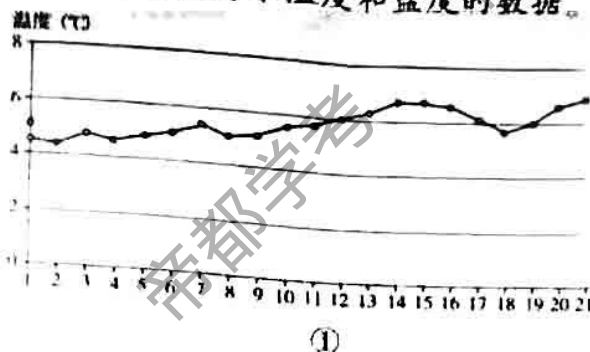
10. 由图9可知

- A. 秋季的城市热岛效应最明显
- C. 冬季城市热岛效应强度最高
- B. 白天城市热岛效应强度较夜晚高
- D. 热岛环流导致城市热岛效应产生

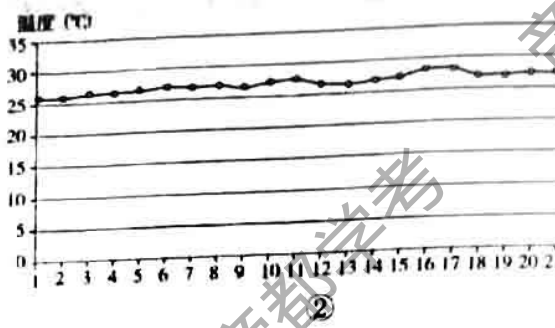
11. 结合图10可知

- A. 北京市的城六区城市热岛效应强度大
- C. 热岛效应的原因与全球气候变暖一致
- B. 受城市热岛效应影响通州盛行偏西风
- D. 发展钢铁、石化工业可降低热岛效应

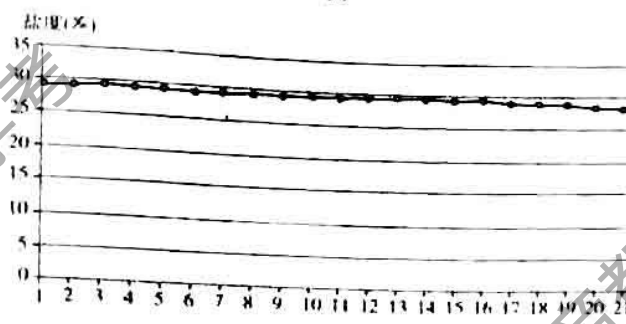
图11是连云港海洋监测站检测的相关数据，其中①~④图表示2021年8月前21天月前21天的表层海水温度和盐度的数据。据此完成12、13题。



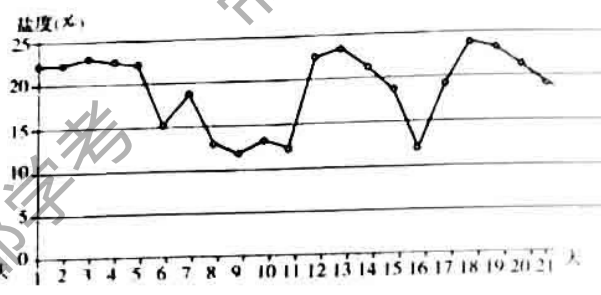
①



②



③



④

图11

12. 四图对应的月份和海水性质分别是

- A. ①—8月、温度 ②—2月、温度 ③—8月、盐度 ④—2月、盐度
- B. ①—8月、温度 ②—2月、温度 ③—2月、盐度 ④—8月、盐度
- C. ①—2月、温度 ②—8月、温度 ③—8月、盐度 ④—2月、盐度
- D. ①—2月、温度 ②—8月、温度 ③—2月、盐度 ④—8月、盐度

13. 连云港海洋监测站附近海域表层海水的平均密度

- A. 春季最大
- B. 夏季最大
- C. 秋季最大
- D. 冬季最大

图12和图13分别是2021年12月11日河北秦皇岛和浙江北仑港的潮高日变化示意  
图。据此完成14、15题。

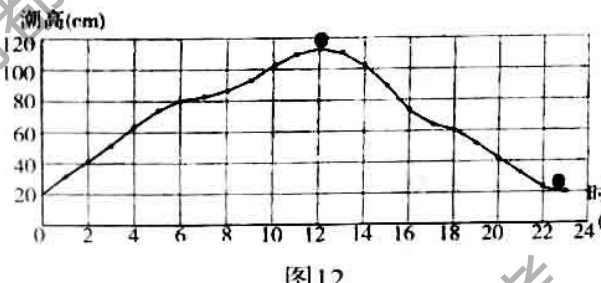


图12

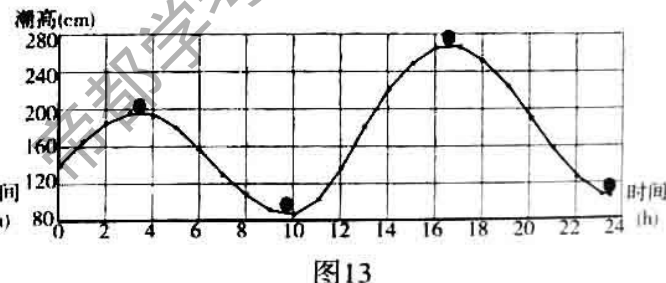


图13

14. 北仑港相比秦皇岛，潮汐  
A. 多一个潮水涨落过程  
C. 潮高涨落的落差较小  
B. 落潮的潮高较低  
D. 最高潮高出现早

15. 根据图 12 可知  
A. 正午是当地渔民到海岸滩涂捕捞海鲜的最佳时机  
B. 23 时是利用已存储好的海水开始发电的最好时机  
C. 10 时至 14 时是大吨位船舶进出海港的较佳时段  
D. 海岸潮汐涨落落差大的地带适合发展海洋养殖业

根据下列地貌景观(图 14)，完成 16、17 题。



①台湾沿海野柳地质公园



②高山冰斗



③陕西黄土梁



④秦皇岛海滩



⑤尼罗河三角洲



⑥北京房山石花洞

图 14

16. 图中地貌景观特征  
A. ①、⑤规模大小基本相同  
C. ③相比④海拔高度较高  
B. ②、③自然环境大体相似  
D. ③、⑤地形起伏大体相同
17. 图中地貌  
A. ①、④同属海岸地貌  
C. ②、③同属风沙地貌  
B. ②、⑤同属河流地貌  
D. ③、⑥同属喀斯特地貌

读图 15，完成第 18 题。



图 15

18. 图中地貌

- A. 发育在地形较崎岖的地区      B. 所在地易发河流改道现象  
C. 河道多呈现为狭窄的V型      D. 由河畔的三角洲连接而成

碱蓬为一年生草本植物，对海边波涛、卤水、低温、低氧、狂风有强大的抵御能力。碱蓬在高盐环境下产生甜菜红素，因此呈现红色。辽宁盘锦有一片由碱蓬草编织成的“红地毯”——红海滩风景区（图16），这里每年吸引数以万计的水鸟翱翔其中。据此完成19~21题。

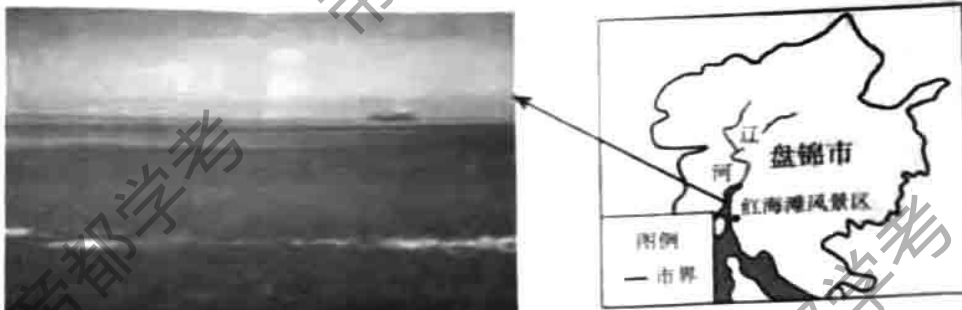


图 16

19. 图16中碱蓬生长区的主要环境特征为

- A. 干旱少雨      B. 地势高亢      C. 河流汛期长      D. 盐碱滩涂

20. 红海滩碱蓬生长较好的有利条件有

- ①夏季降水多      ②终年高温      ③径流丰富      ④土壤盐碱化  
A. ①②      B. ①③      C. ②③      D. ③④

21. 盘锦“红地毯”的生态价值主要是

- A. 净化空气      B. 发展旅游      C. 保护生物多样性      D. 保护农田

影片《火星救援》讲述了宇航员马克在火星上落单后，利用已有条件在基地里种土豆，等待救援的故事。所谓火星土壤呈红色细粒和角砾碎屑状。据此完成22~24题。

22. 影片中改造所谓火星土壤的措施正确对应土壤形成条件的是

- ①所谓火星土壤——成土母质      ②土豆——生物  
③塑料“穹顶”覆盖——地貌      ④基地——气候  
A. ①②      B. ①③      C. ①④      D. ③④

23. 在未改造前，所谓火星土壤相比地球土壤

- A. 质地更好      B. 没有肥力  
C. 有机质含量高      D. 垂直剖面良好

24. 西北毛乌素地区的农民常在改良土壤时在土壤表面铺一层薄膜状的细土，其主要作用是

- A. 防止水土流失      B. 防止高温晒伤作物  
C. 增大昼夜温差      D. 减弱土壤水分蒸发

2021年7月18日18时至21日0时，郑州全市累积平均降水量449毫米，其中20日16~17时郑州降雨量达201.9毫米。郑州附近黄河岸边海拔高度90~92米，郑州市区东北方向海拔85~88米，郑州市区纬三路以南海拔高于92米。2020年郑州基本建成海绵城市。据此完成25、26题。

25. 此次郑州洪涝最主要的原因是

- A. 降水主要集中在夏季      B. 降水量大，降水强度高  
C. 城市地表硬化，下渗弱      D. 地势低，洪水宣泄不畅

26. 此次郑州洪涝灾害对河南和全国的影响较大，其原因是郑州

- A. 市区面积大，自然环境复杂多样      B. 通过黄河加大下游各省的防汛压力  
C. 经济文化发达，是全国交通枢纽      D. 较少发生洪涝灾害，防汛工程薄弱

应急管理部公布2020年全国十大自然灾害（如表1），全年各种自然灾害共造成1.38亿人次受灾，591人死亡失踪，10万间房屋倒塌，农作物受灾面积19957.7千公顷，直接经济损失3701.5亿元。据此完成27~30题。

表1

1	7月份长江淮河流域特大暴雨洪涝灾害
2	8月中旬川渝及陕甘滇暴雨洪涝灾害
3	6月上中旬江南华南等地暴雨洪涝灾害
4	6月下旬西南等地暴雨洪涝灾害
5	2020年第4号台风“黑格比”
6	云南巧家5.0级地震
7	新疆伽师6.4级地震
8	8月东北台风“三连击”
9	4月下旬华北西北低温冷冻灾害
10	云南春夏连旱

27. 根据材料可知我国自然灾害分布的主要特点是

- ①灾害种类多样，发生频繁      ②自然灾害多发于冬春季节  
③灾害类型的地域分异明显      ④受灾人口众多，灾情严重  
A. ①②③      B. ①②④      C. ①③④      D. ②③④

28. 我国多发旱涝灾害的主要原因是

- A. 降水的季节和年际变率大      B. 地形复杂多样，山区面积广  
C. 植被覆盖率低，破坏严重      D. 河流、湖泊多，分布地区广

29. 东北受台风“三连击”的影响易造成

- A. 阴雨连绵的天气      B. 吉林省的风暴潮  
C. 洪涝和作物倒伏      D. 寒潮影响区扩大

30. 救灾部门为分析4月华北和西北低温冷冻灾害造成的损失应主要采用

- A. 遥感技术来分析相关数据      B. 全球卫星导航系统获取数据  
C. 当地政府上报的相关数据      D. 地理信息系统分析相关数据

## 第二部分 综合题(共 40 分)

31. (11 分)根据图文材料,回答下列问题。

河西绿洲位于中国西北干旱区,南边的祁连山是绿洲水源的主要发源地(图 17)。

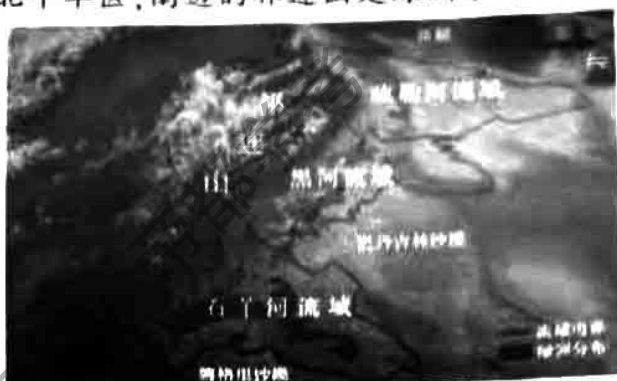


图 17

(1) 分析河西绿洲主要分布在祁连山北坡和东北坡的原因 (5 分)

(2) 在图中画出绿洲与临近沙漠之间夏季近地面大气运动方向,并分析原因。(6 分)

32. (9 分)根据图文材料,回答下列问题。

2011 年 3 月 11 日 13 时 46 分,西太平洋海域( $38.1^{\circ}\text{N}, 142.6^{\circ}\text{E}$ )发生里氏 9.0 级地震,震源深度约 20 公里,此次地震造成 19533 人遇难,沿海渔船漂流到美洲沿岸,福岛核电站受到严重破坏。2021 年 4 月 13 日日本政府正式决定向海洋排放福岛核电站的核废水。图 18 为世界海陆分布示意图

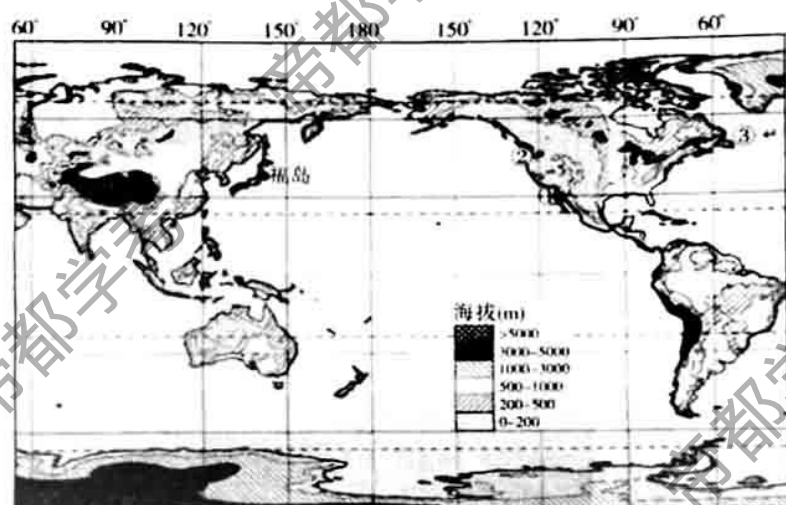


图 18

(1) 指出日本向海洋排放核废水是否会对美国带来危害,说明理由。(3 分)

(2) 比较图 18 中①处与②处海水温度的高低,并说出其主要影响因素。(2 分)

(3) 判断图 18 中②处与③处更容易形成天然大渔场的海域,简述其原因。(4 分)

13. (1分)根据图文材料,回答下列问题。

长白山海拔 2740 米,森林带直排高达 2000 米,600 米 - 1100 米是连绵的针阔混交林;1100 米 - 1800 米是针叶林;过了 1800 米,大都乔木都无法生长,这里每年有 200 多天吹 6 级以上的大风,然而岳桦却顽强地在这里扎下了根。

(1) 提出长白山数码所示地带(图 19)的植被类型。(2 分)

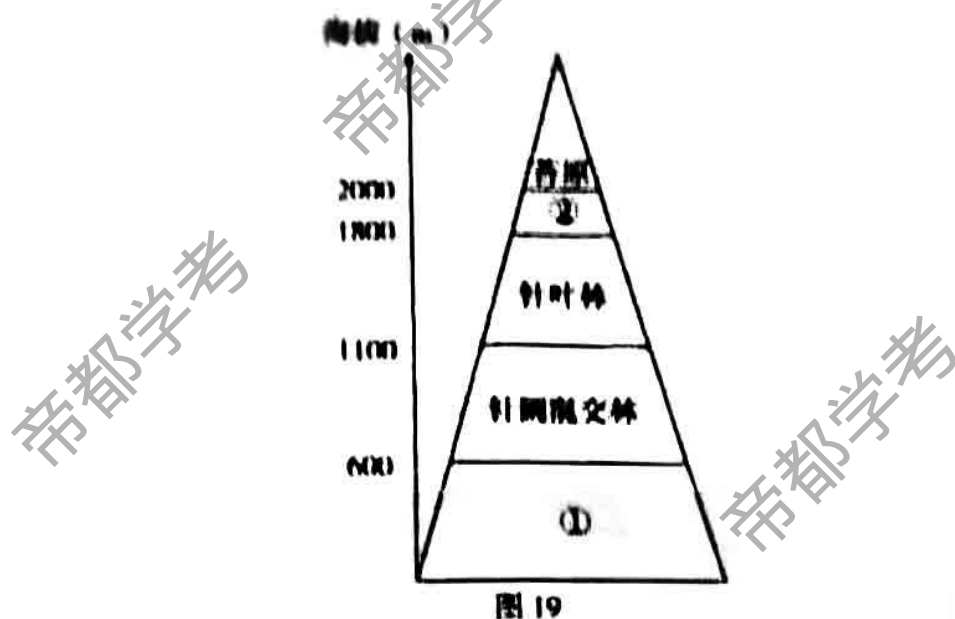


图 19

(2) 说出①地带的气候特点,并描述其植被的主要特征。(4 分)

桦树高大笔直(图 20a)。长白山岳桦(图 20b)矮小弯曲,匍匐在地;岳桦树生长十分缓慢,木质密度和硬度远超同地区生长的其它树种。

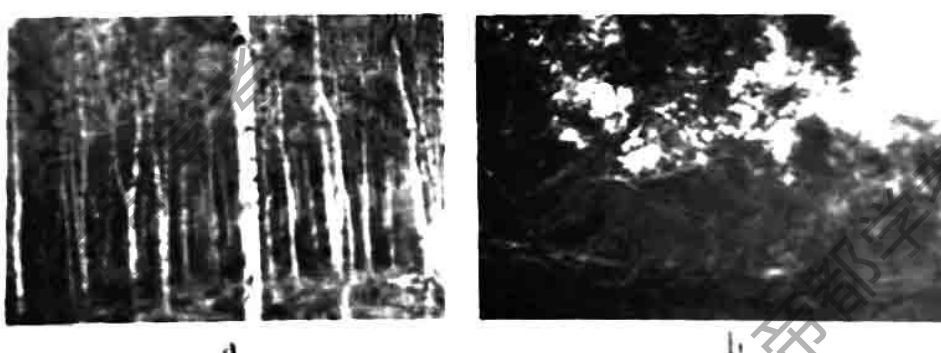


图 20

(3) 指出岳桦林生长状态的特点,并解释其原因。(5 分)

34. (9分)根据图文材料,回答下列问题。

北京城市副中心主要采取增加植被、铺设透水砖、增减生物滞留设施和开挖蓄水池等方式,建成了全域海绵城市优秀示范片区及镜河、运河商务区、城市绿心等一批特色优质典范项目。图21为水循环示意图。

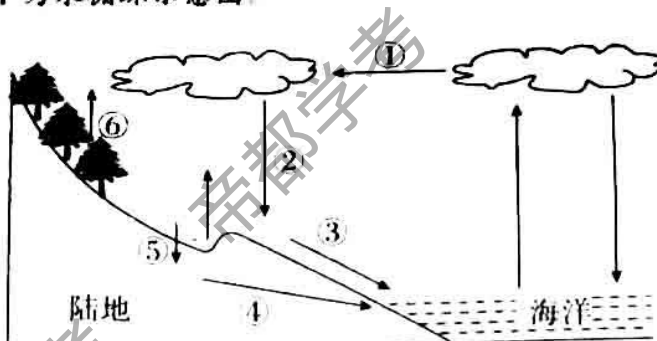


图21

(1)列举海绵城市的主要功能。(3分)

(2)结合图21,在下表中填写相关措施对应水循环环节的编号及作用。(6分)

措施	编号	作用
开挖蓄水池		
铺透水砖		
增加植被		

关注公众号“帝都学考”，获取最有价值的试题资料



扫一扫 欢迎关注  
帝都学考公众号